

建設省土木研究所 正員 山本邦夫
正員 中神陽一
正員 ○福田 誠

1. まえがき

箱桁を主桁として用いた斜張橋は、剛性が低いこともあり、従来より低風速域で振動振が発現する場合が多く、その振動性状も主桁断面形状に大きく影響されるため、設計に当っては風の動的的作用について検討する必要がある。本報告では、左右非対称の逆台形箱桁を有する斜張橋主桁の一様流中での対風応答特性、主桁の外側腹板の傾きを変化させた場合の応答特性の変化、および耐風安定化対策の効果、さらに乱流中の振動応答特性を調べるために実施した一連の風洞実験の結果について述べる。

2. 実験概要

2.1 実験方法

風洞は、建設省土木研究所耐風工学実験施設のフラッターフ風洞（ゲッチンボン型；測定部高さ4m、幅2.5m、長さ10m）を用い、実験は、縮尺1/37の2次元剛体部材模型を8本のコイルバネにより風洞内に2自由度支持し、所要の相似条件を一致させて、「本州四国連絡橋風洞試験要領（1980）・同解説」に従って行った。

2.2 実験ケース

実験は、図1に示す3つの基本断面、および基本断面(B)に図2に示す制振装置をほどこしして断面について実験した。詳細をまとめ表1に示す。

3. 実験結果および考察

3.1 基本断面一様流中における振動応答特性

基本断面(A)の自励振動の限界風速は、迎角が-7°～3°までの風に対しては100m/s以上、5°と87m/s、7°と79m/sといずれも設計風速域以上であり、自励振動に対しては充分安全であることが確認された。

基本断面(A)の上流側に歩道がある場合（今後上流歩道という）の低風速域の実験結果を図3に示す。図からわかるように、本断面は風速10m/s附近で(1)モードの振動振が発生し、続いで30m/s附近で(2)モードの振動振が発生し、3°以下またはねじれモードの振動振が発生し、3°以上には(1)モードの振動振が発生する。

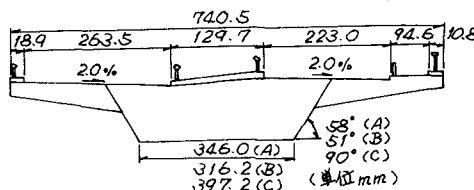


図1 断面形状（基本断面）

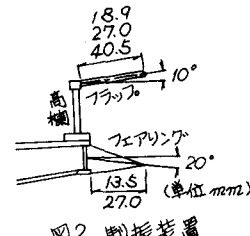


図2 制振装置

表1 実験ケース

	風流	断面形状	風流方向	迎角(deg)
一様流	基本断面	(A)	上流歩道おきび	0, ±1, ±3
		(B)	下流歩道	±5, ±7
		(C)	上流歩道	+5
	フェアリング付	0.5m付	F流歩道	0, +3, ±5, +7
		1.0	上流歩道	0, ±5
		0.7	下流歩道	"
	フランフ	1.0	上流歩道おきび	0, ±1, ±3
		1.5	下流歩道	±5, ±7
	乱流	基本断面(B)	上流歩道	0, +5

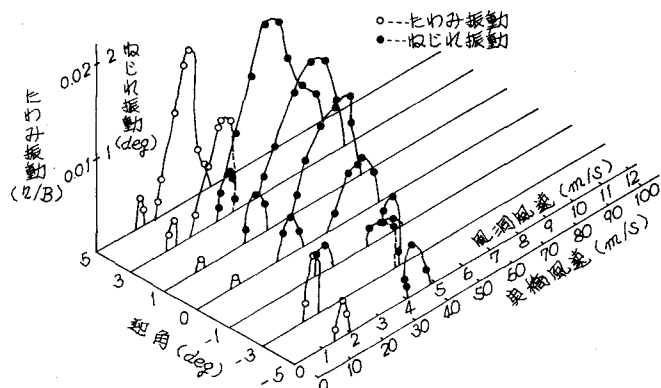


図3 風速-振幅-迎角曲線
(基本断面、上流歩道、迎角-5°～5°)

行している。また、 $40\sim50\text{m/s}$ 付近をねじれモードの騒動振状態現する。たわみの最大振幅は、実橋換算で約85cmと予想される。特に迎角が 3° の場合には、 30m/s 付近を、たわみとねじれがその固有振動数を同時に発現している。基本断面(B), (C)に対するものほぼ同様な結果が得られ、今回実施した外側護板の傾きの変化程度は対風応答特性にほとんど影響がないことがわかった。若干述べるが基本断面(B)の方が他の良好な耐風安定性を示すため、以降、基本断面(B)を用いて制振装置の効果、また乱流中の応答特性を調べた。

3.2 制振装置の効果

騒動振を抑制することを目的として、図2に示すよう2種類の制振装置〔フラップ(上向き 10° , 長さ実橋 $0.7\text{m}, 1.0\text{m}, 1.5\text{m}$), フエアリンク(下向き 20° , 長さ実橋 $0.5\text{m}, 1.0\text{m}$)〕の効果を調べた。今回の実験で騒動振の大きさは歩道を上流側にした場合の 0° , 5° の2迎角について、その効果を見るため基本断面(A)の対応応答特性と比較すると以下のようになる。

フエアリンクを設置しても、基本断面とほぼ同風速域で騒動振が発現し、たわみ振動振幅はほとんどかわらない。また、 50m/s 付近で発現したねじれ振動振幅はかなり抑えられるが、 30m/s 付近のそれは逆に大きくなっている。

フラップは、ねじれモードの振動の抑制に相当の効果があることが認められた。また、たわみ振動にも効果があり、その長さを増すごとにその効果も大きくなる。フラップ長が、 1.0m と 1.5m の場合については、その抑制効果にそれほど差がないため、フラップ 1.0m 付断面に対し

て上流歩道、下流歩道の2風向についてそれを $0^\circ, \pm 1^\circ, \pm 3^\circ, \pm 5^\circ, \pm 7^\circ$ の9迎角について確認実験を行った。上流歩道の場合の実験結果を図4に示す。

フラップは、ねじれ騒動振に対しては非常に有効であり、迎角 -3° の若干発振の懼があるもののほぼ完全に抑制することができた。たわみ騒動振に対しては迎角が負および付近の領域をほぼ抑制することができたが、迎角 5° を基本断面の約半分、迎角 $\pm 7^\circ$ を同じ振幅と行った。また、下流歩道の場合ねじれ騒動振に対しては迎角が正の場合、振幅を約半分しか抑制されていない。

このように過去の実験結果に比べ抑制効果が多少悪いのは、歩道を下流側にした場合に地盤および地中井戸等から下り風配にあっており、吹き上げの風が作用した場合にそれが吹きの個所を剥離した翼の再付着が遅く、その効果だけ起振力が大きくなることにによるものと思われる。

3.3 亂流中の振動応答特性

測定洞最上流端(模型の上流 3.2m)に図5に示す格子($I_u = 15\sim17\%$, $I_{sw} = 12\sim13\%$)を設置し乱流を発生させ、乱流中における基本断面(B)の応答を測定した。迎角 0° における振幅-風速曲線を図6-1に示す。乱流効果により騒動振が抑えられ、かつ発振モードがフェッティン式に変化しているものと思われ、また、振幅についても一様流中に比べ大幅に減少した。

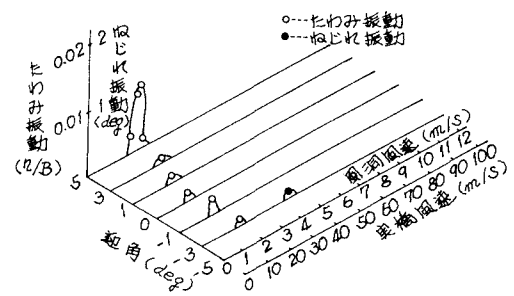


図4 風速-振幅-迎角曲線
(フラップ 1m 付, 上流歩道,
迎角 $-5^\circ\sim5^\circ$)

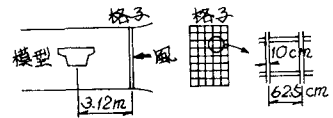


図5 格子説明図

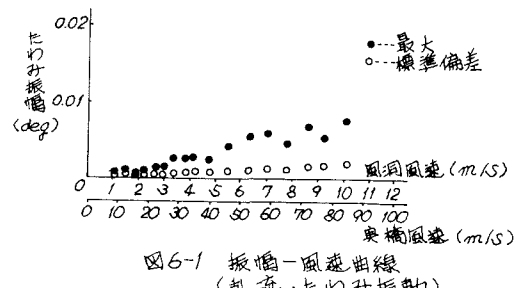


図6-1 振幅-風速曲線
(乱流, たわみ振動)

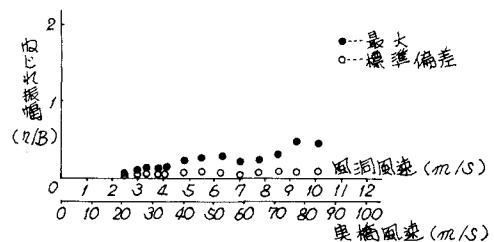


図6-2 振幅-風速曲線
(乱流, ねじれ振動)